

# Sistemas Realimentados - 2023/2

Nome: DIONATAS SANTOS BRITO

Data limite para entrega: 26/9

## Trabalho 2 - O método do lugar das raízes

```
I=8; % Seu valor de I
[G1,G3,G4]=ini_t2(I);
datetime('now')
```

```
ans = datetime
      28-Sep-2023 04:47:57
```

**Atividade 1: Esboçar o lugar das raízes de  $1 + KG_1(s) = 0$  para  $K > 0$  e  $K < 0$ . Desenhe à mão, usando as propriedades de construção do LR, digitalize e insira abaixo a figura de forma bem visível. Incluir no esboço:**

G1

G1 =

$$\frac{8}{s^3 + 70s^2 + 1176s}$$

Continuous-time transfer function.  
Model Properties

### 1.1 Raízes para $K = 0$ e $K \rightarrow \infty$ .

Com  $k = 0$ , as raízes permanecem iguais ao polo da FT G1:

$$s^3 + 70s^2 + 1176s = 0$$

$$s(s^2 + 70s + 1176) = 0$$

$$\frac{-70 \pm \sqrt{70^2 - 4 * 1 * 1176}}{2 * 1} = 0$$

$$\frac{-70 \pm \sqrt{4900 - 4704}}{2} = 0$$

$$\frac{-70 \pm \sqrt{196}}{2} = 0$$

$$\frac{-70 \pm 14}{2} = 0$$

$$s_1 = 0, s_2 = -42, s_3 = -28$$

Portanto, as raízes para  $k = 0$  são : 0, -28, 42.

```
%
%Para fins de verificação de cálculo:
k_pole = pole(G1)
```

```
k_pole = 3x1
         0
        -42.0000
        -28.0000
```

## 1.2 Pontos de passagem no eixo imaginário se houver.

Os pontos de passagem se dá através do método de e Routh-Hurwitz, como podemos observar na imagem, há pontos de passagem no eixo imaginário em  $\pm 34i$

$$\frac{1 + K \cdot 8}{s^3 + 70s^2 + 1176s}$$

$$\therefore s^3 + 70s^2 + 1176s + 8K$$

$s^3$	1	1176	
$s^2$	70	8K	
$s^1$	A		

$$70s^2 + 8K = 0$$

$$70s^2 + \frac{70 \cdot 1176}{8} = 0$$

$$70s^2 + 82320 = 0$$

$$A = \frac{70 \cdot 1176 - 8K}{70}$$

$$70 \cdot 1176 - 8K = 0$$

$$K = \frac{70 \cdot 1176}{8}$$

$$\pm 34,302$$

### 1.3 As assíntotas e seus ângulos.

O numero de trajetórias é igual ao numero de Polos (3) e a condição de ângulo para  $K > 0$  se dá através da seguinte formula:

$$\theta = \frac{(2 * i + 1) * 180}{n_p - n_z}, \text{ que resultam em } \theta_1 = 60^\circ, \theta_2 = 180^\circ \text{ e } \theta_3 = 300^\circ \text{ ou } -60^\circ$$

Já para  $K < 0$ , se utiliza da seguinte formula:

$$\theta = \frac{(2 * i) * 180}{n_p - n_z}, \text{ que resultam em } \theta_1 = 0^\circ, \theta_2 = 60^\circ \text{ e } \theta_3 = 240^\circ$$

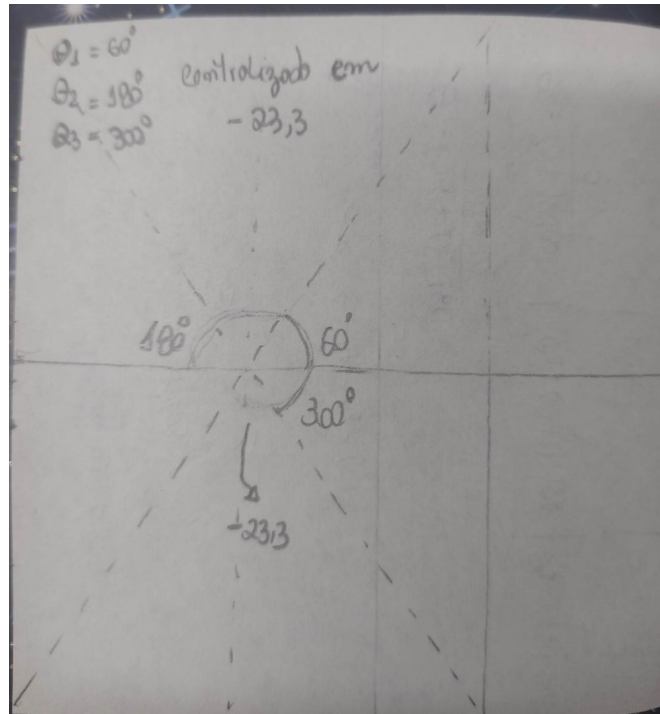
Número de Trajetórias LP  
 =  
 Número de Pólos  
 $\Rightarrow n_p = 3$

^  
 Angulos  $\rightarrow \left. \begin{aligned} l &= n_p - n_z - 1 \\ &= 3 - 0 - 1 \\ &= 2 \end{aligned} \right\} l = 0, 1, 2$

$\theta_i = \frac{(2i+1) \cdot 180}{n_p - n_z}$

$\theta_1 = \frac{(0+1) \cdot 180}{3} \quad | \quad \theta_2 = \frac{(2+1) \cdot 180}{3} \quad | \quad \theta_3 = \frac{(4+1) \cdot 180}{3}$

$\theta_1 = 60^\circ \quad | \quad \theta_2 = 180^\circ \quad | \quad \theta_3 = 300^\circ$



#### 1.4 Ponto de interseção das assíntotas

Todas as assíntotas são centralizadas no ponto -23,3.

Este ponto de interseção é dado por:  $\sigma = \frac{\sum \text{polos de } G1(s) - \sum \text{zeros de } G1(s)}{n - m}$

Assintotas Centrolizadas em :

$$\frac{\sum p - \sum z}{n_p - n_z} = \frac{28 + 42}{3 - 0} = 23,3$$

↓

em -23,3

### 1.5 Localização dos pontos de raízes múltiplas (encontro de polos)

O encontro de polos se dá ao realizar o cálculo abaixo

$$\frac{dN(s)}{dD(s)} = \frac{N'(s) * D(s) - N(s) * D'(s)}{D(s)^2} = 0$$

Para  $K > 0$ , temos o valor de ponto de sela igual a -11 e para  $K < 0$ , temos o ponto de sela igual a -36

$1 + KG(s) = 0$   $\frac{f'_g - f'_g'}{g^2}$

$$K = \frac{-1}{G(s)} = - \left[ \frac{s^3 + 70s^2 + 1176s}{8} \right]$$

→  $\frac{(3s^2 + 140s + 1176) * 8 - 0}{8^2}$

$$24s^2 + 1120s + 9408 = 0$$

→  $x_1 = -11$

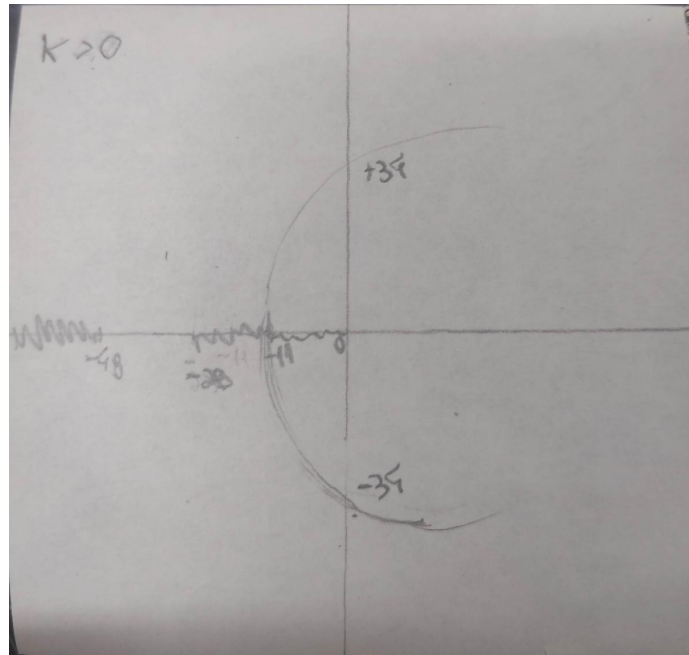
→  $x_2 = -36$

### Desenhando o LR

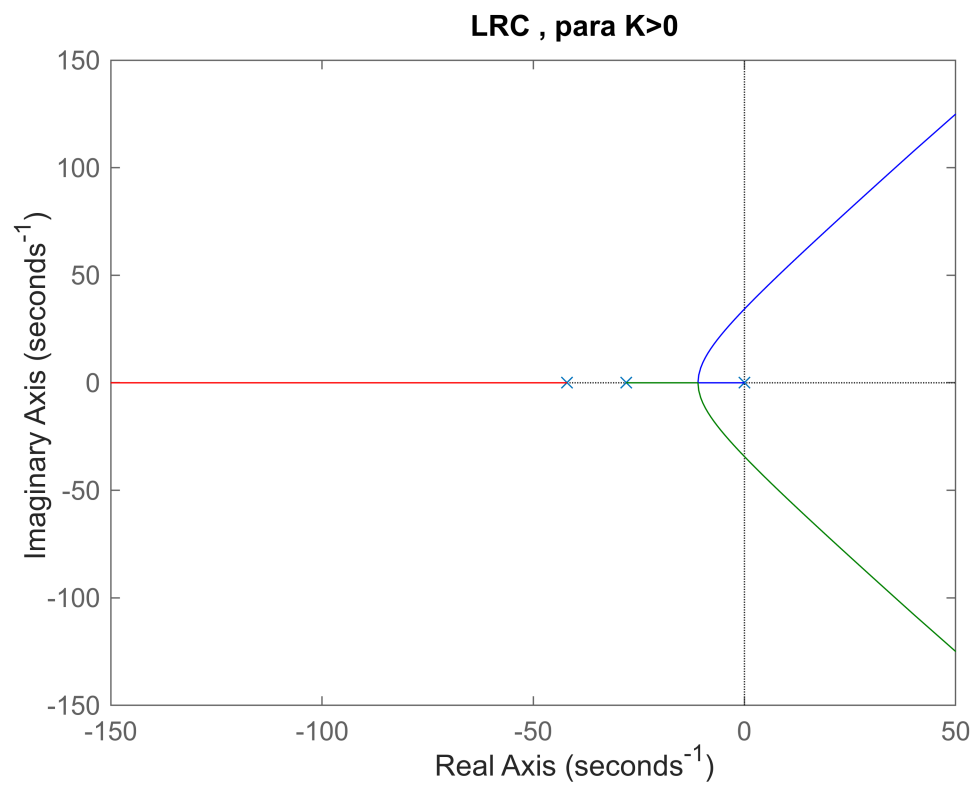
Com base nas questões acima, temos os seguintes LR:

Para  $K > 0$ :

- Polos: 0, -28, -42
- Assíntotas e ângulos: 3 assíntotas e  $60^\circ$ ,  $180^\circ$  e  $300^\circ$
- Assíntotas centradas : 23.33
- Ponto de interseção: -11
- Ponto de passagem no eixo jw:  $\pm 34$

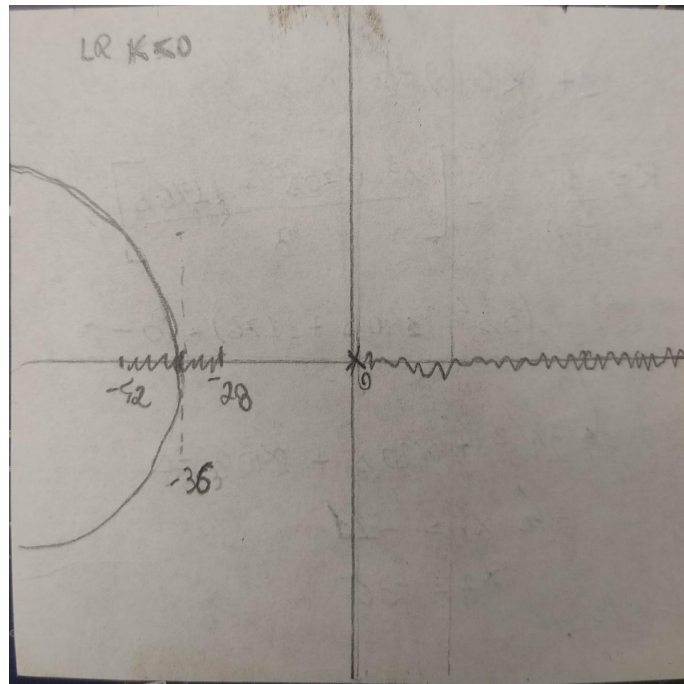


```
%Para fins de verificação de cálculo:
figure;rlocus(G1);title('LRC , para K>0')
```



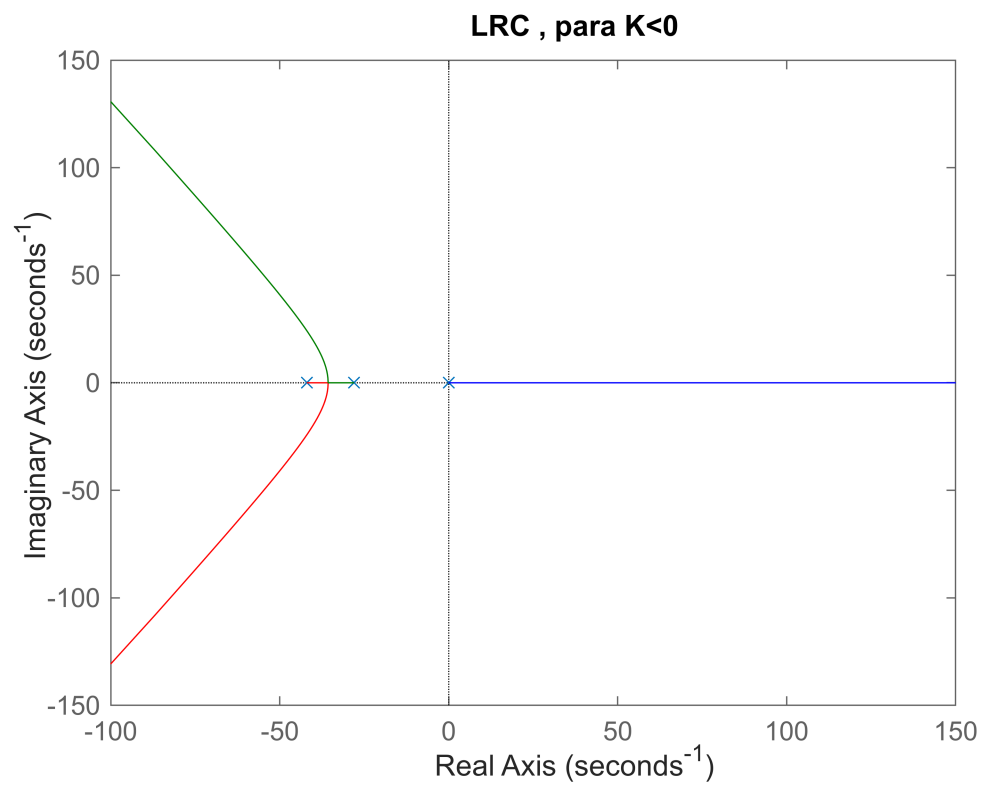
Para  $K < 0$ :

- Polos: 0, -28, -42
- Assíntotas e ângulos: 3 assíntotas e  $0^\circ$ ,  $60^\circ$  e  $240^\circ$
- Assíntotas centrada em : 23.33
- Ponto de interseção: -36
- Ponto de passagem no eixo  $j\omega$ : Não possui



```
%Para fins de verificação de cálculo:
figure;rlocus(-G1);title('LRC , para  $K < 0$ ')

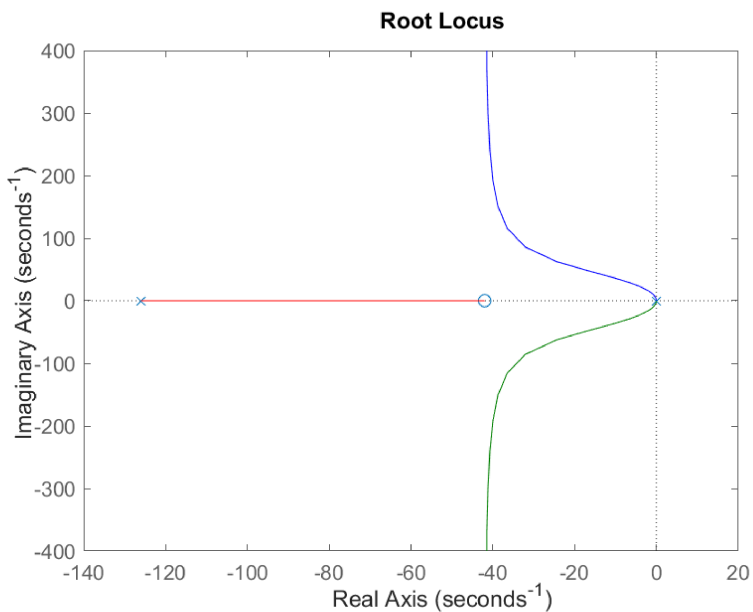
```





**Atividade 2: Seja o LR de  $1 + KG_2(s) = 0$  mostrado, com  $G_2$  da forma  $G_2(s) = \frac{(s + z_1)(s + z_2)\dots}{(s + p_1)(s + p_2)\dots}$ . Responder as perguntas abaixo, obtendo as informações aproximadas da figura:**

```
%figura
imshow('fig2.png');
```



## 2.1 Quais são os polos e zeros de $G_2(s)$ ?

Segundo a figura Root Locus gerada para  $G_2$ , os polos e zeros são aproximadamente:

Polos : 0, 0, -125

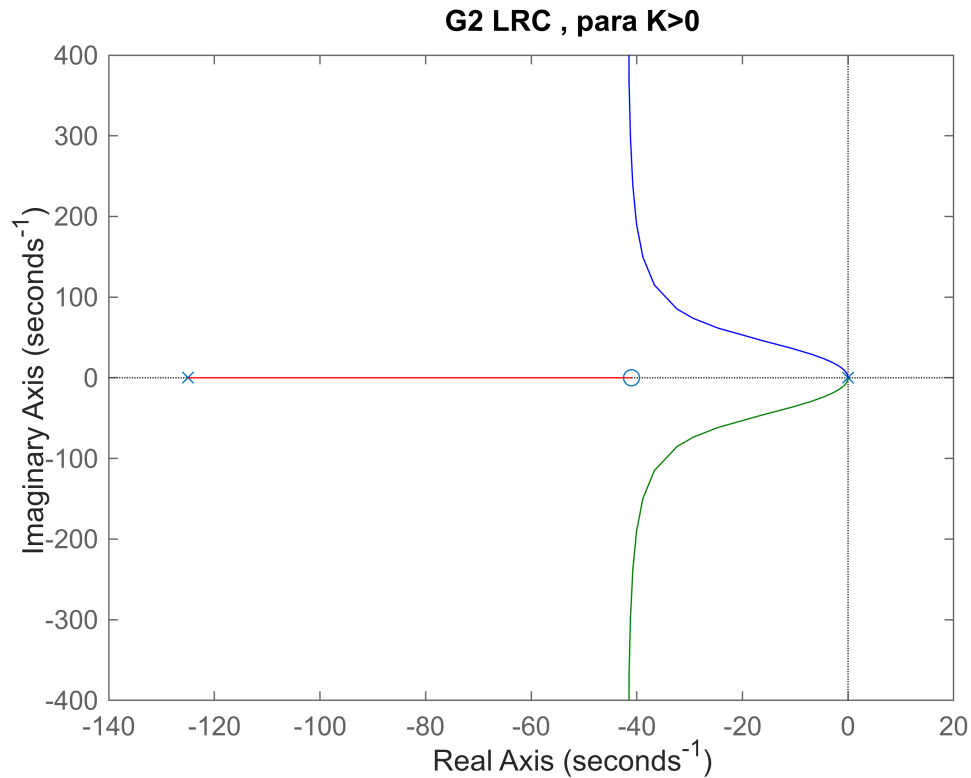
Zeros : -41

$$G_2(s) = \frac{(s + (-41))}{(s + (0))(s + (0))(s + (-125))}$$

```
s=tf('s');
G2 = (( s + 41)/(s*s*s +125*s*s));
```

%Plotando o gráfico com os polos aproximados para fins de comparação:

```
figure;rlocus(G2);title('G2 LRC , para K>0')
```



## 2.2 Quais são as raízes quando $K \rightarrow 0$ e quando $K \rightarrow \infty$ ?

$$s^3 + 125s^2 = 0$$

Para  $K \rightarrow 0$ , as raízes permanecem iguais ao polo da FT G1:  $s^2 * (s + 125)$

$$s_1 = 0, s_2 = 0, s_3 = -125$$

Para  $K \rightarrow \infty$ , o sistema possui 3 polos e 1 zero, então uma raiz tende ao polo -41 e as outras duas raízes deverão ir na direção das assintotas.

## 2.3 Para que valores de $K > 0$ e $K < 0$ esse sistema é estável?

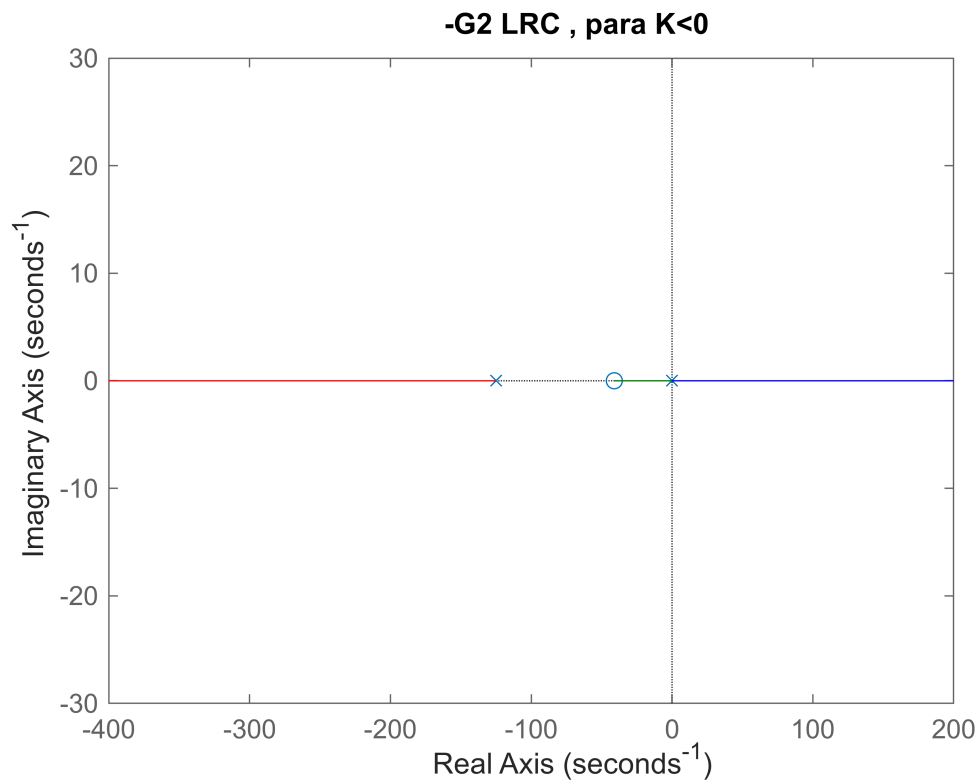
Análise para  $K > 0$ :

Iniciando com  $K > 0$ , devemos calcular através do método de Routh-Hurwitz os pontos em que o LR cruza o eixo imaginário (caso ocorra) para determinar o valor de K exato, entretanto, pelo root locus da função aproximada (questão 2.1) podemos observar que não há pontos de passagem no eixo imaginário, ou seja, o LR sempre irá estar no semi plano esquerdo para qualquer  $K > 0$ .

Análise para  $K < 0$ :

Para  $K < 0$  temos o seguinte comportamento:

```
figure;rlocus(-G2);title(' -G2 LRC , para K<0')
```



Note que agora temos LR no semi plano direito (SPD), então devemos analisar em  $s=0$ , ou calcular distâncias destes polos ao ponto:

$$G_2(s) = \frac{(0 + (-41))}{(0 + (0))(0 + (0))(0 + (-125))} = \frac{(-41)}{(0)(0)(-125)} = 0$$

Critério de estabilidade:

- Se  $K > 0$ , então o sistema é estável.
- Se  $K = 0$ , então o sistema é marginalmente estável.
- Se  $K < 0$ , então o sistema é instável

Análise Final:

Tomando o que foi dito como base e o gráfico do rlocus com a equação aproximada, notamos que ao analisar para  $K > 0$ , o LR não toca o eixo imaginário e permanece no SPE, e quando olhamos para o comportamento de  $K < 0$ , notamos que existe um polo no SPD que torna o sistema instável, e sabendo que quando  $K = 0$  as raízes são os polos da nossa  $G(s)$  (como ditona questão 2.2), logo, quando  $K = 0$  ele estará em 0 (sobre o eixo imaginário, logo marginalmente estável) não existindo um  $K < 0$  que satisfaça a condição de estabilidade. Sendo assim somente há valores de  $K > 0$  que torna o sistema estável.

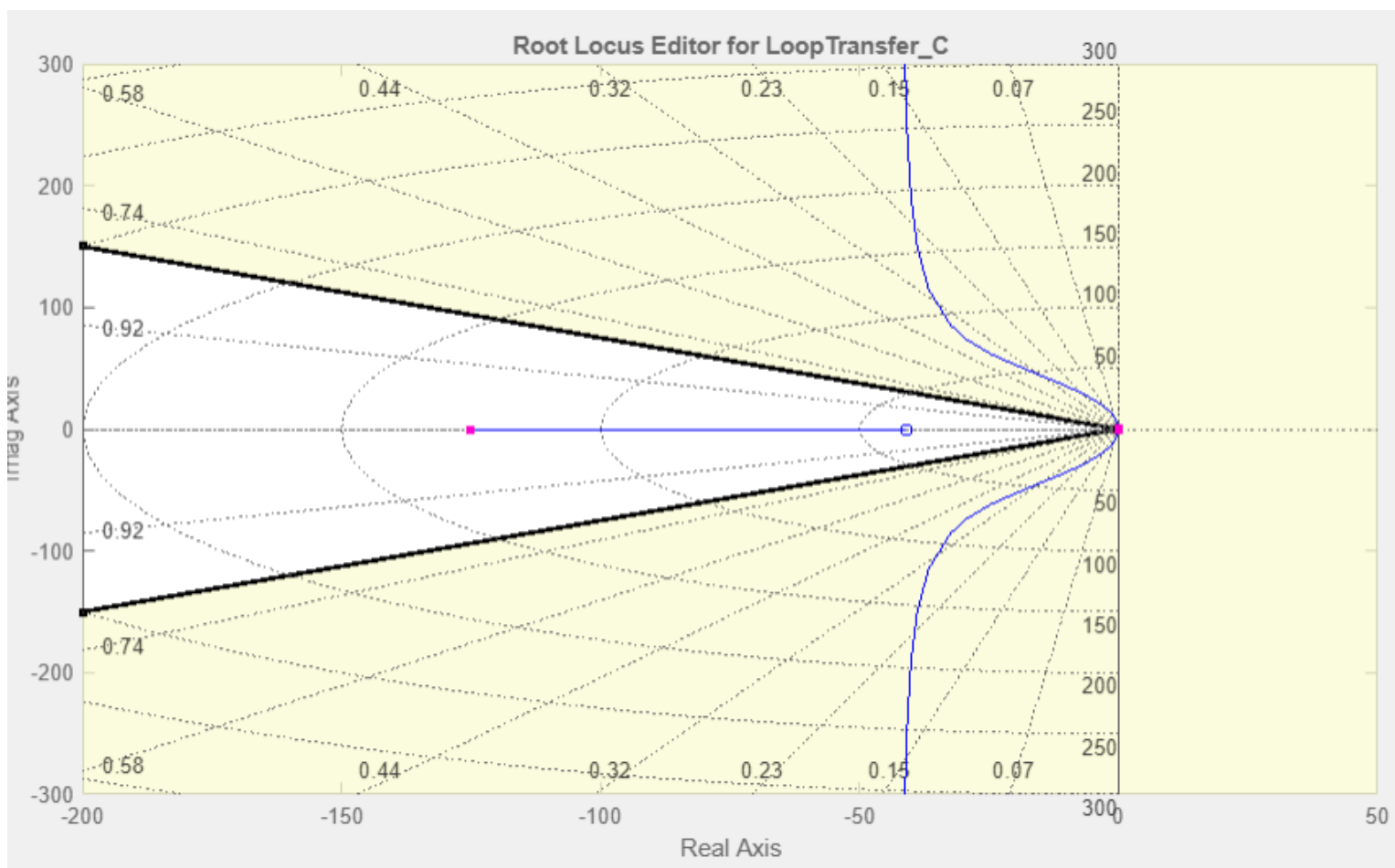
Para um sistema estável basta que  $K > 0$ .

## 2.4 Obtenha os valores de K para os quais o par de polos complexos tem amortecimento $\zeta \geq 0.707$ ?

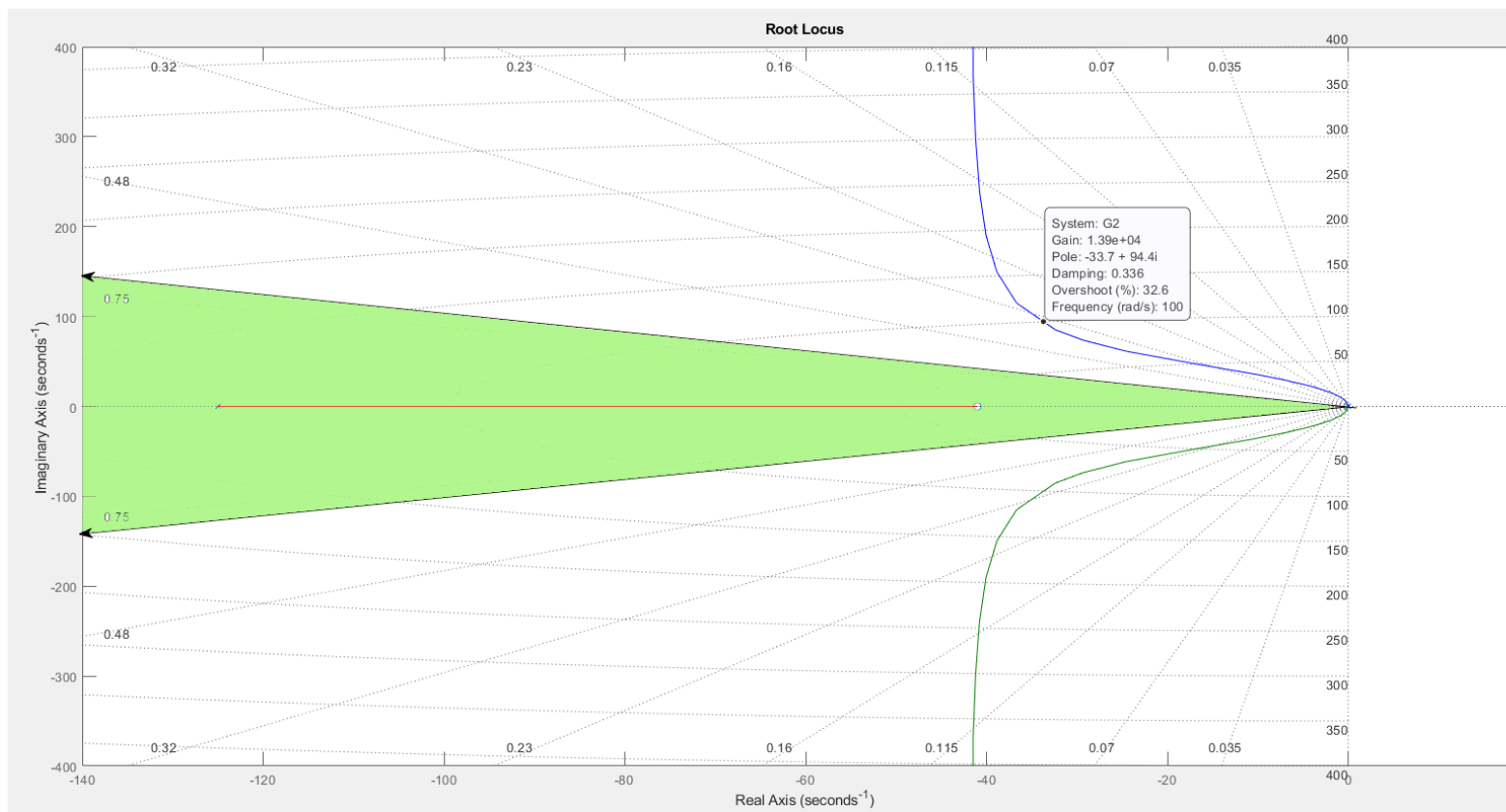
O amortecimento igual a  $\zeta \geq 0.707$  implica em um ângulo de  $45^\circ$  graus, assim basta verificar em qual par de polos complexos terá este amortecimento tendo o ângulo como guia.

Para fins de demonstração, utilizarei tanto o rtool quanto o root locus de G2.

**Rltool:**

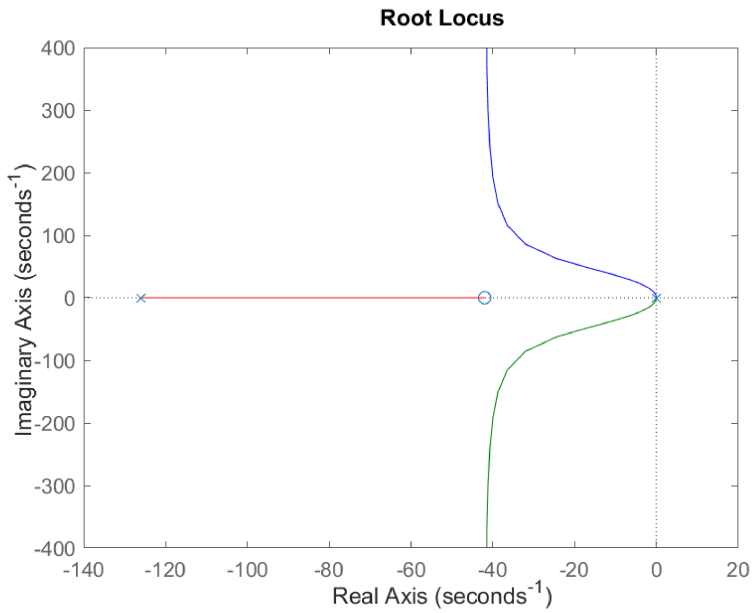


**Root Locus:**



Podemos verificar que não existe LR dentro do "cone" gerado pelo ângulo de  $45^\circ$ , que toque o  $\zeta \geq 0.707$ . Portanto não existe valor de K que cumpra o requisito de mortecimento, pois a medida que o valor de K aumenta, o valor do Damping diminui ao ponto que seu valor máximo seja de aproximadamente 0.336

```
imshow('fig2.png');
```



2.5 Obtenha os valores de K para os quais o tempo de estabelecimento atende  $t_s \leq \frac{8}{I}$ .

`ts_max = 8/I`

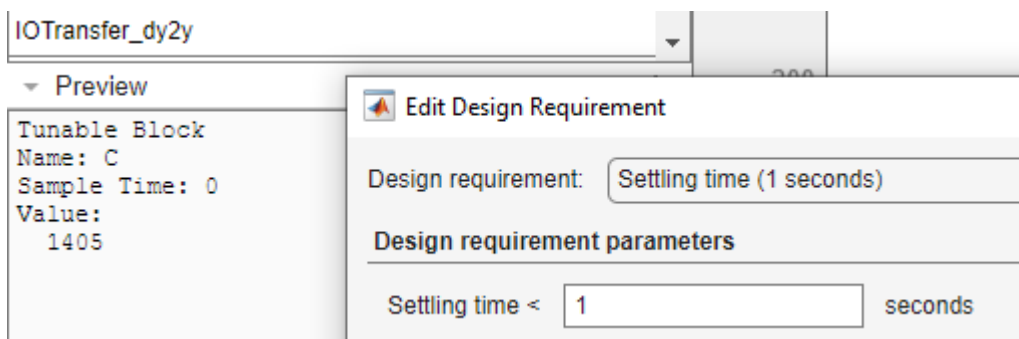
`ts_max = 1`

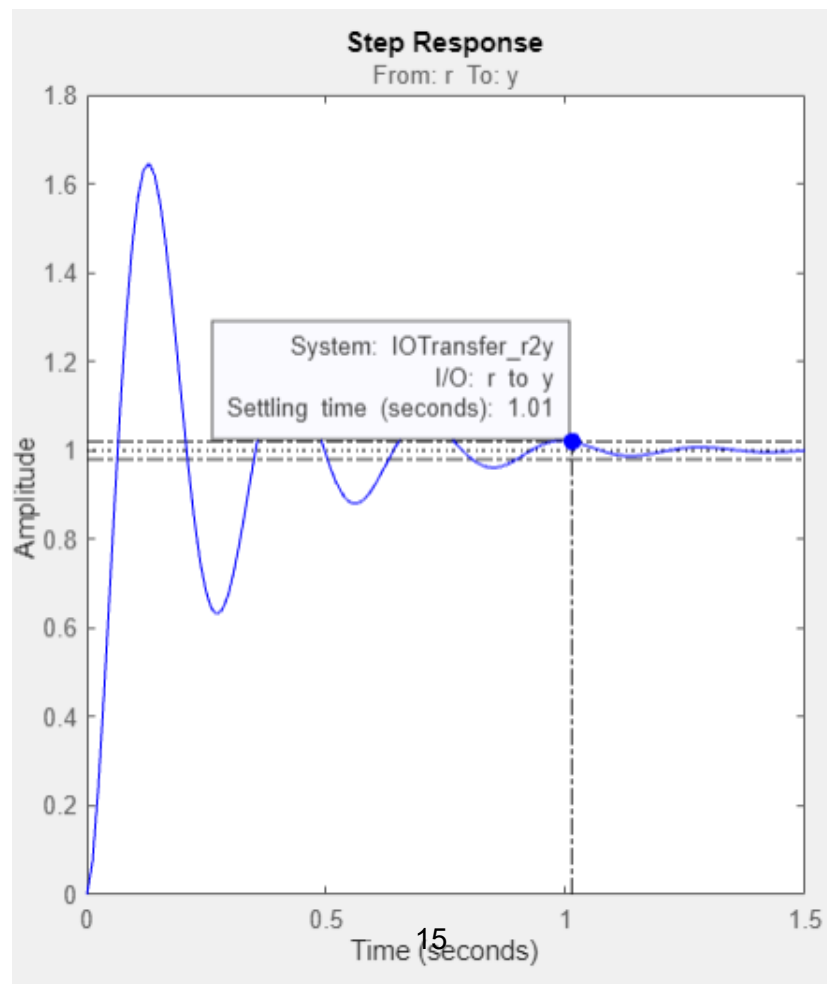
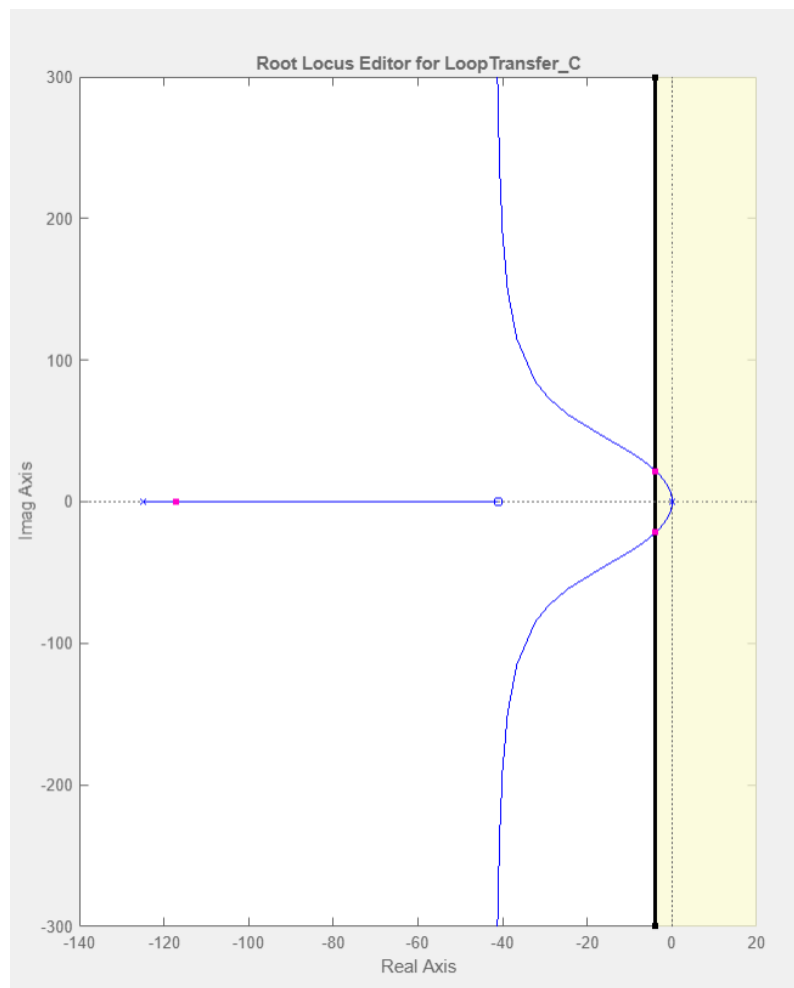
`ZetaWn=4/ts_max`

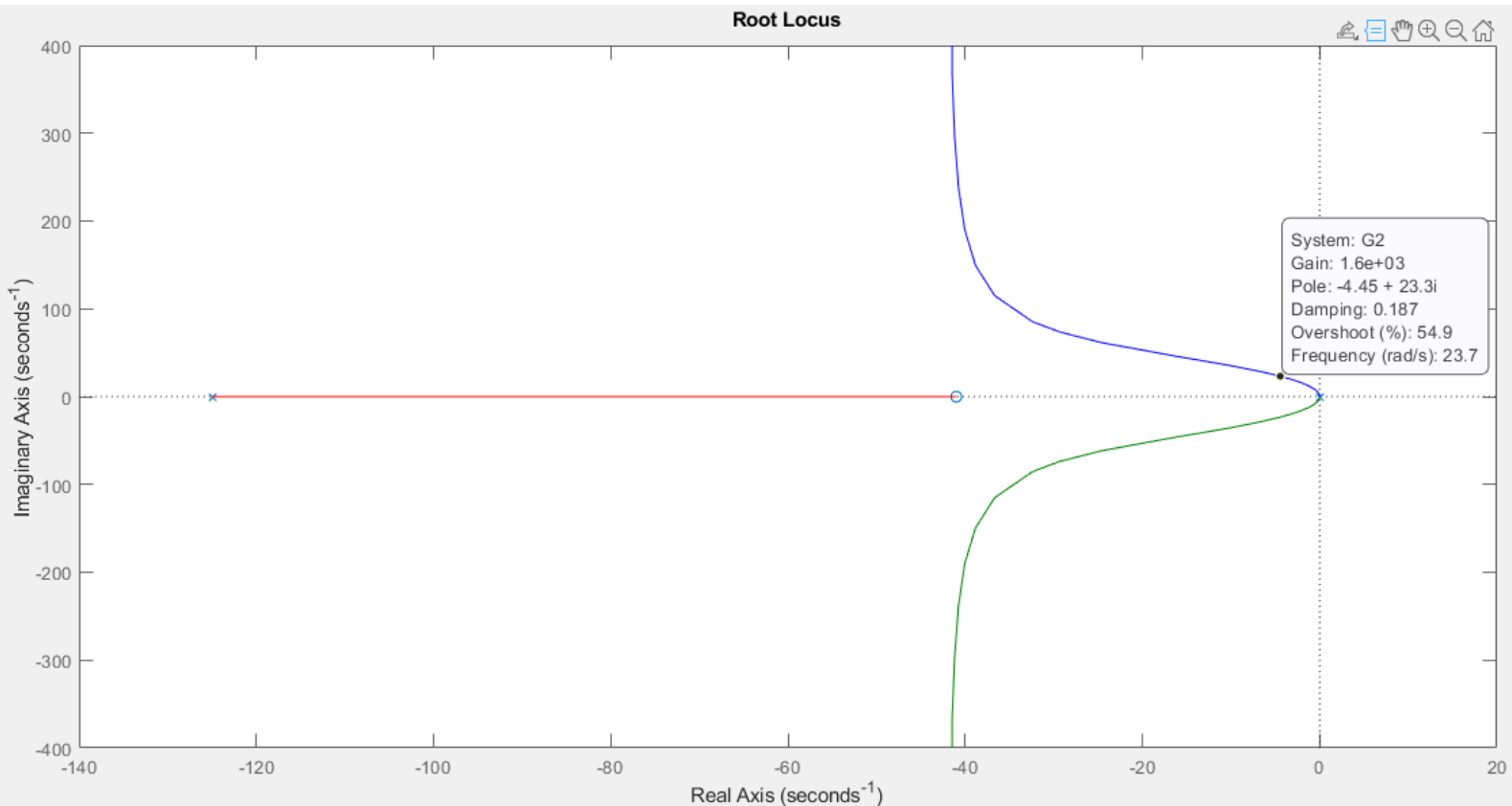
`ZetaWn = 4`

$\zeta \omega_n = \frac{4}{t_{s_{\max}}} \Rightarrow x < -4$  ~ Parte real do polo deve ser menor que -4

Realizando algumas simulações:







Análise:

Partindo do comando `rltool(G2)` com o tempo de estabelecimento igual menor que 1 segundo, temos um ganho  $K$  próximo a 1405 e com o `rlocus(G2)`, como ele é menos preciso que o `rltool`, obtive polo igual a  $-4.45 + 23i$  com um ganho próximo a 1600.

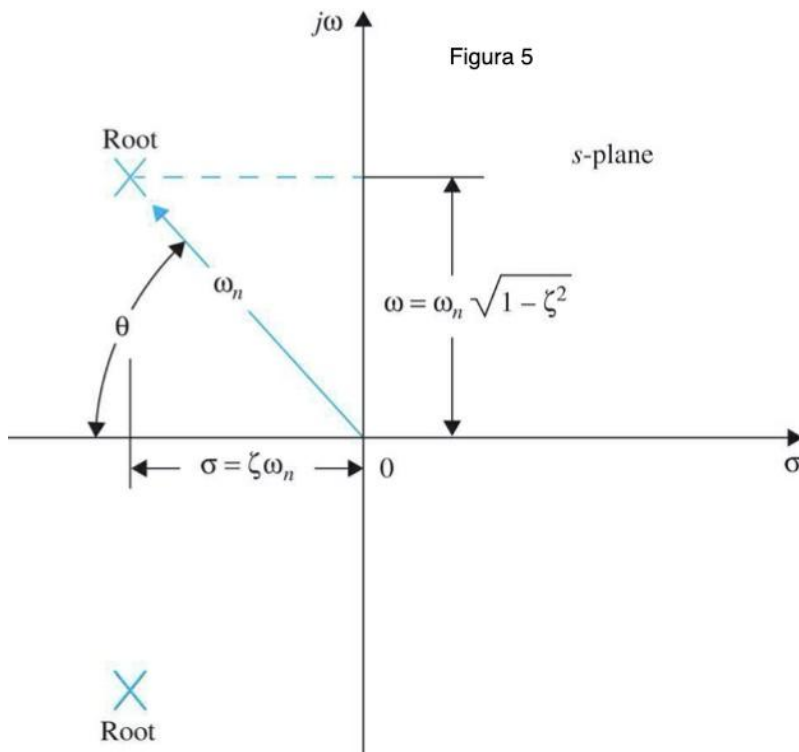
Esses resultados simulados são próximos ao  $\zeta \omega_n = \frac{4}{t_{s_{\max}}}$  calculado, portanto, os valores de  $K$  para os quais o

tempo de estabelecimento atende  $t_s \leq \frac{8}{I}$  são  $K \geq 1405$  com a parte real menor que -4 e com um  $t_s = 1s$

**Atividade 3: Seja a FT de primeira ordem com tempo morto  $G_3(s)$ . Discretize esta FT obtendo  $G_3(z)$  com tempo de amostragem igual a 1/5 do tempo morto, faça o LR discreto e responda as perguntas abaixo:**

Lembrando:  $\zeta = \cos \theta$ ,  $t_s = \frac{4}{\zeta \omega_n}$ ,  $0 < \zeta < 0.9$ .





3.1 Identifique os polos e zeros de  $G_3(z)$ .

```
%G3 normal
```

```
G3
```

```
G3 =
```

$$\exp(-7s) * \frac{9}{28s + 1}$$

```
Continuous-time transfer function.  
Model Properties
```

```
%tempo amostragem 1/5 * tempo morto
```

```
G3_DEAD_TIME=7;
```

```
t3_amost = 1/5 * 7
```

```
t3_amost = 1.4000
```

```
%G3 discretizada
```

```
G3_D = c2d(G3,t3_amost)
```

```
G3_D =
```

$$z^{(-5)} * \frac{0.4389}{z - 0.9512}$$

```
Sample time: 1.4 seconds
```

Discrete-time transfer function.  
Model Properties

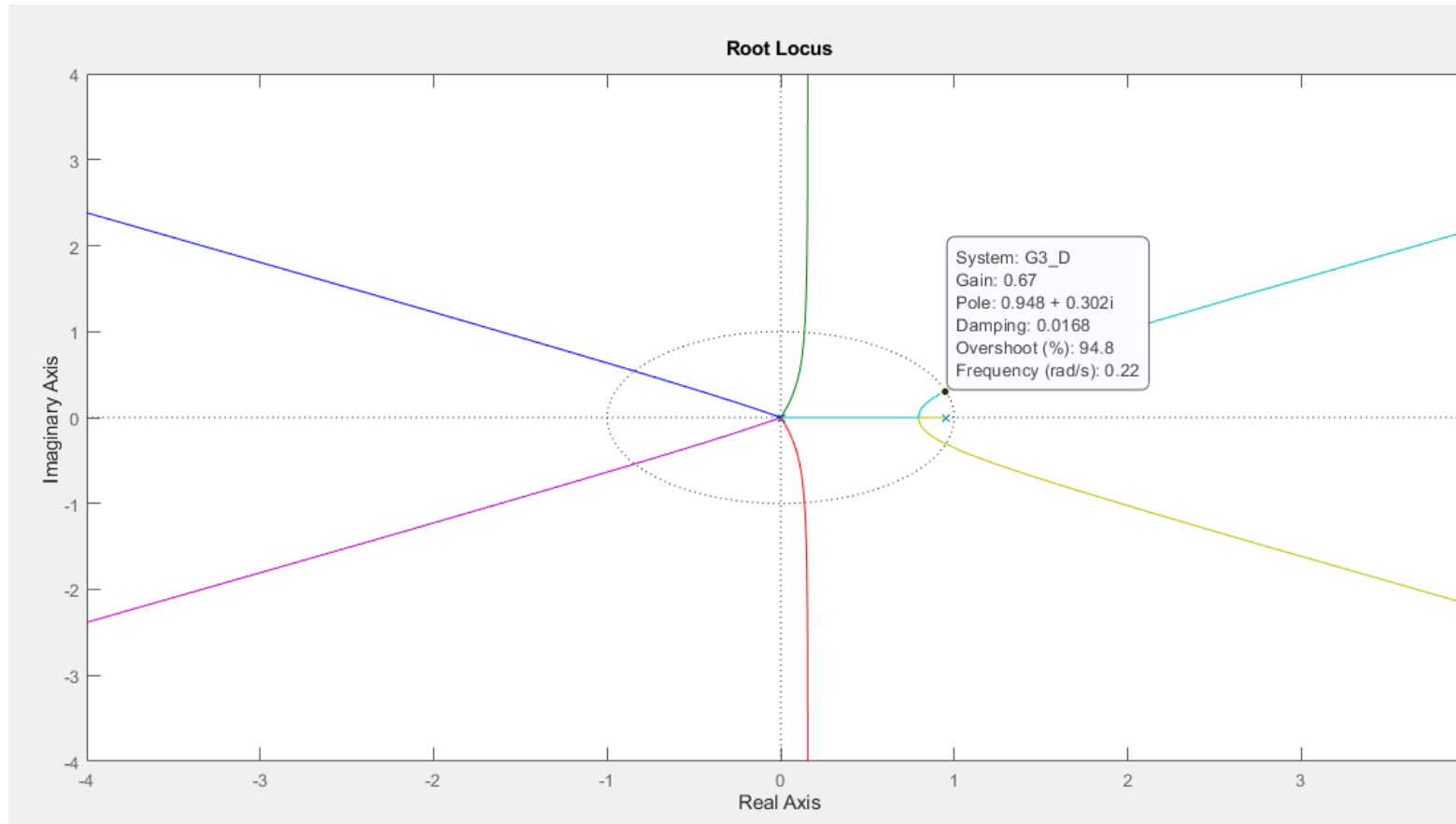
Após a discretização, temos um polo igual a:

```
G3_pole=pole(G3_D)
```

```
G3_pole = 0.9512
```

### 3.2 Obtenha todos os valores de $K \in [-\infty, \infty]$ para os quais este sistema é estável.

Para fins de análise, utilizarei o rlocus para gerar o LR do círculo unitário:



Para garantir a estabilidade o valor de  $K$  tem que ser referente a um valor de polo que está contido pelo círculo unitário e caso tenha algum polo fora desse círculo, o sistema é instável. Dito isso, o único valor de  $K$  máximo que satisfaz essa condição é o 0.67.

Concluindo, para garantir a estabilidade o valor de  $K$  deve ser menor ou igual a 0.67 e maior que zero :

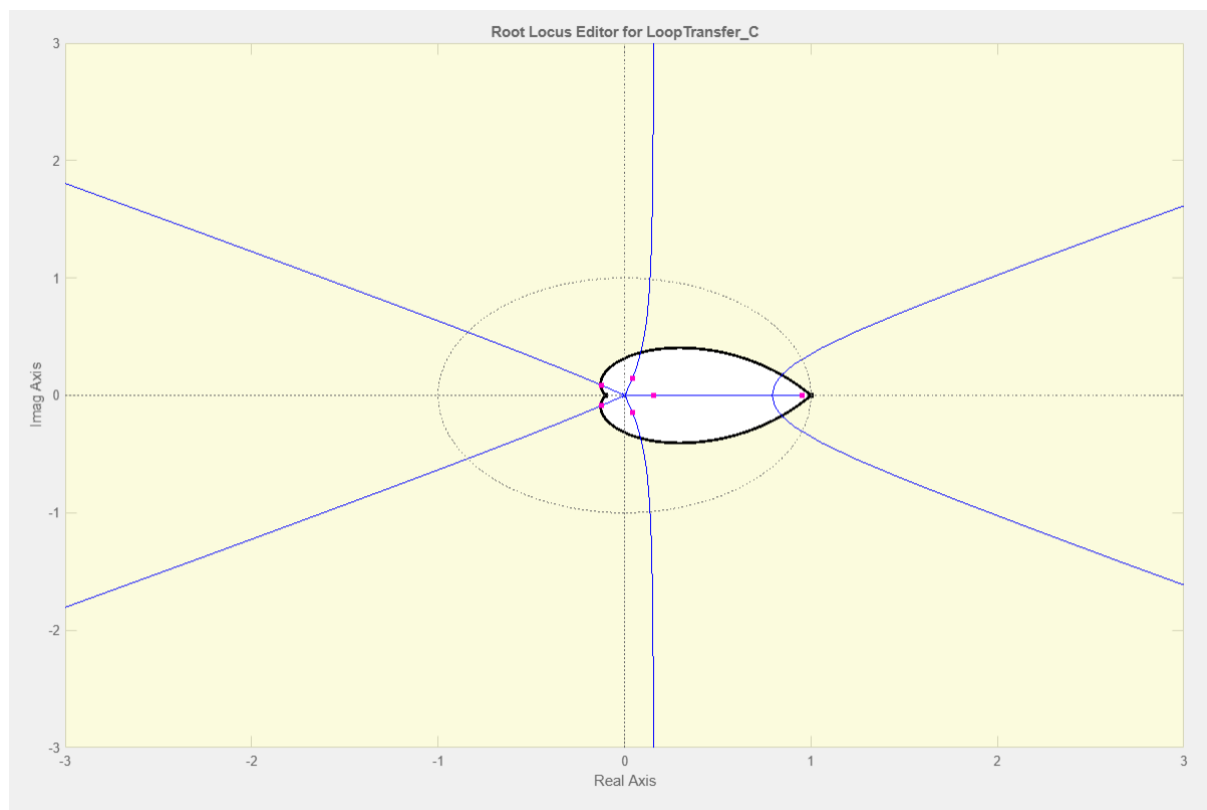
$$0 < K \leq 0.67$$

### 3.3 Para que valores de $K$ tem-se $UP \leq 10\%$ ?

Utilizando o rtool, foi encontrado os valores de  $K$  que atende a especificação de  $UP \leq 10\%$ , sendo ele maior que zero e menor igual a 0.00017515:  $0 < K \leq 0.00017515$

Isso se dá por conta dos polos dominantes estarem mais próximo da origem causando maior sobreelevação.

```
Preview
Tunable Block
Name: C
Sample Time: 1.4
Value:
0.00017515
```



### 3.4 Verifique se existem valores de $K$ para os quais $t_s \leq 10/s$ .

```
ts_g3 = 10*I
```

```
ts_g3 = 80
```

▼ Preview

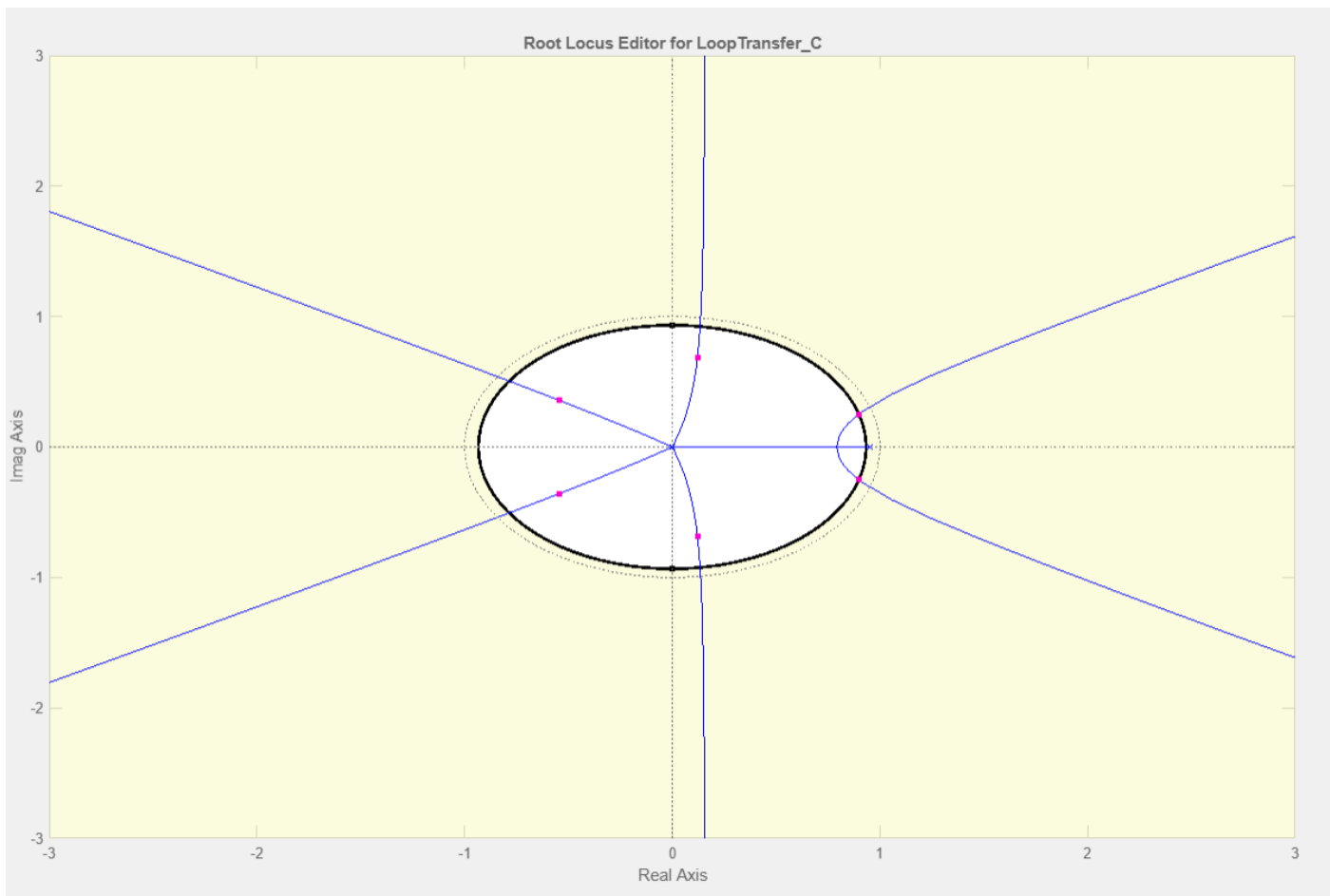
Tunable Block  
Name: C  
Sample Time: 1.4  
Value:  
0.41151

Edit Design Requirement

Design requirement: Settling time (80 seconds)

Design requirement parameters

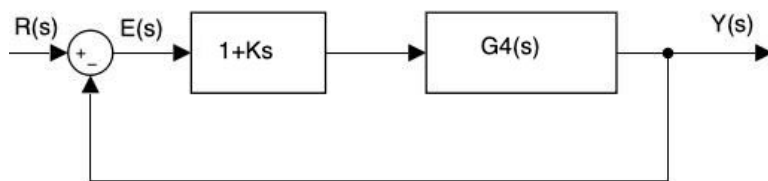
Settling time < 80 seconds



Análise:

Análise: A partir dos resultados obtidos na figura gerada pelo rlttool, podemos identificar valores de  $K$  que satisfazem a condição de  $T_s \leq 80$ . Para o meu caso,  $T_s$  é de 80 segundos. Dentro desse intervalo, os ganhos  $K$  devem ser escolhidos de forma que estejam entre zero e 0.41151. Isso garante que exista um determinado ganho  $K$  que esteja dentro do tempo de estabilização e seja menor do que 80 segundos;  $0 < K \leq 0.41151$

#### Atividade 4: Seja o diagrama de blocos mostrado.



6.1 Faça o LR e explique o efeito de K sobre os polos de malha fechada.

Para utilizar as regras do LR, o problema deve estar escrito na forma  $1 + KG1(s) = 1 + K * \frac{N(s)}{D(s)} = 0$ , sendo assim:

$$1 + (1 + Ks) * G4 = 0$$

$$1 + \left(1 + Ks\right) * \frac{400}{s^4 + 28s^3 + 294s^2 + 1372s + 2401} = 0$$

$$1 + K * \frac{400s}{s^4 + 28s^3 + 294s^2 + 1372s + 2802} = 0$$

```
s=tf('s');
G4_MODEL = 400*s/(s^4+28*s^3+294*s^2+1372*s +2802)
```

```
G4_MODEL =
```

```

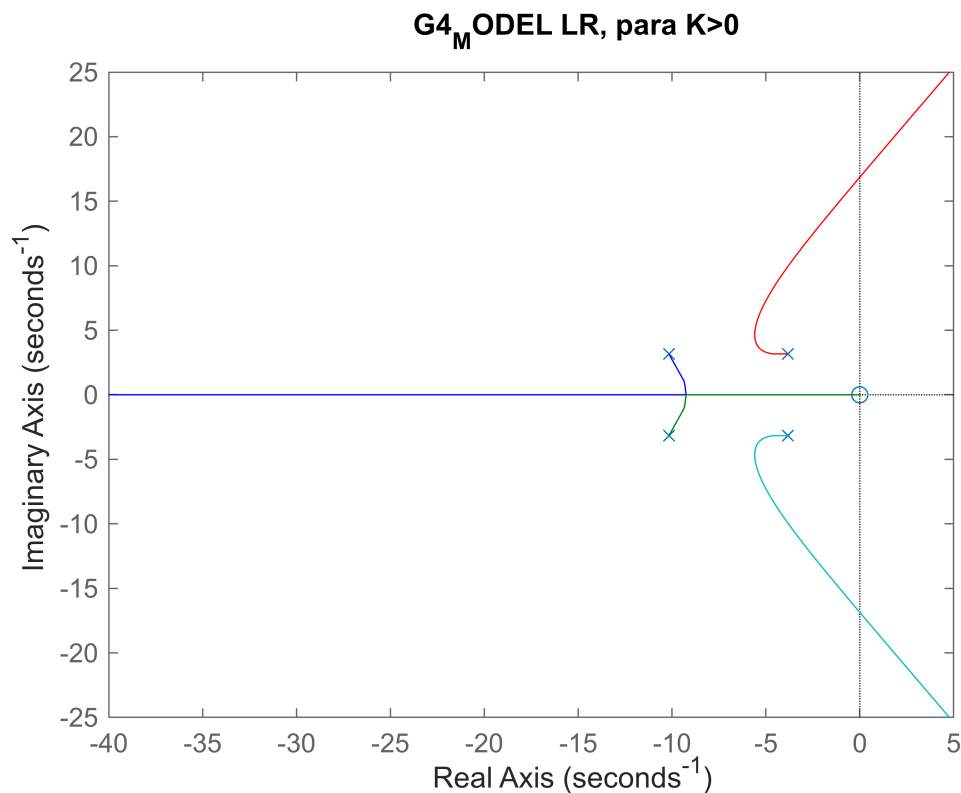
          400 s
-----
s^4 + 28 s^3 + 294 s^2 + 1372 s + 2802
```

```
Continuous-time transfer function.
Model Properties
```

```
%encontrando os polos
G4_MODEL_POLE = pole(G4_MODEL)
```

```
G4_MODEL_POLE = 4x1 complex
-10.1643 + 3.1643i
-10.1643 - 3.1643i
-3.8357 + 3.1643i
-3.8357 - 3.1643i
```

```
%fazendo o LR com o rlocus
figure;rlocus(G4_MODEL);title(' G4_MODEL LR, para K>0')
```



Utilizando o rtool obtive as seguintes situações:

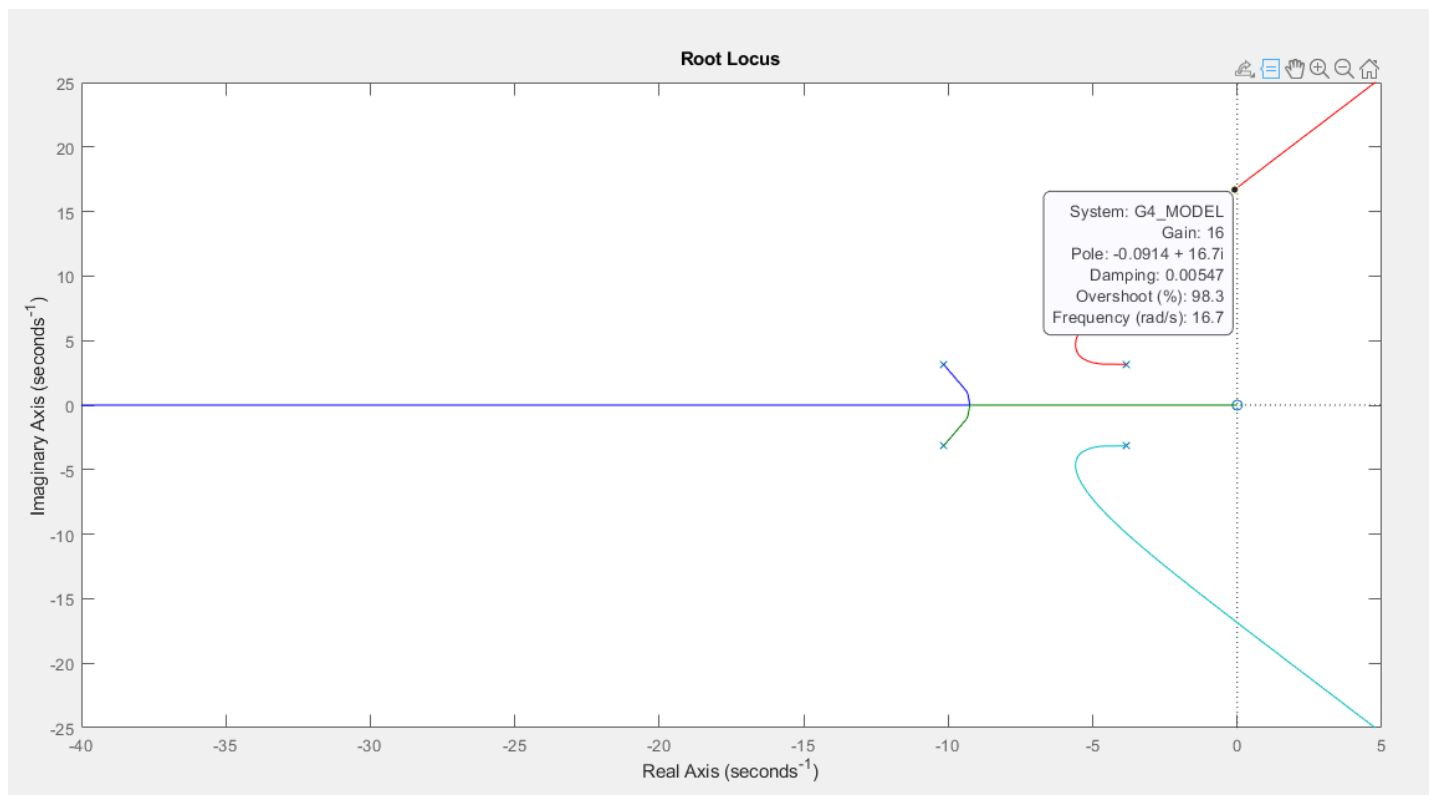
Aumento de  $K$ : mover polos no sentido do LR aumentando o valor de  $K$  faz deslocar os polos em direção ao ponto de origem. Isso resulta em uma resposta mais rápida do sistema, ou seja, os polos se deslocam para a esquerda, o que diminui os tempos de resposta do sistema (tempo de subida, tempo de acomodação, etc.). No entanto, um aumento excessivo de  $K$  pode levar o sistema à instabilidade.

Diminuição de  $K$ : reduzir o ganho  $K$  tem o efeito oposto, movendo os polos para a direita resulta em uma resposta mais lenta do sistema, aumentando os tempos de resposta. Pode também tornar o sistema mais estável e menos propenso a oscilações.

Tendo em vista os efeitos, dependendo do valor de  $K$  ao ser aumentado pode vir aumentar o overshoot e as oscilações no sistema, pois pode ocorrer situações em que os polos se aproximam do eixo imaginário ou até mesmo cruzarem para o lado direito.

## 6.2 Obtenha os valores de $K > 0$ para os quais o sistema é estável.

Utilizando o root locus obtive a seguinte resposta:



A partir da análise do gráfico, concluí que o sistema é estável para valores de  $K$  que estejam dentro do intervalo  $0 < K < 16$ . Isso se deve ao fato de que, para  $K > 16$ , o sistema tende ao semiplano direito e isso o torna instável, ou seja, os valores de  $K > 0$  para os quais o sistema é estável são os valores entre 0 e 16. Sendo assim,  $0 < K \leq 16$

**6.3 Obtenha um valor de  $K$  tal que  $UP \leq 10\%$  e o tempo de estabelecimento seja o menor possível. Faça uma simulação ao degrau comprovando.**

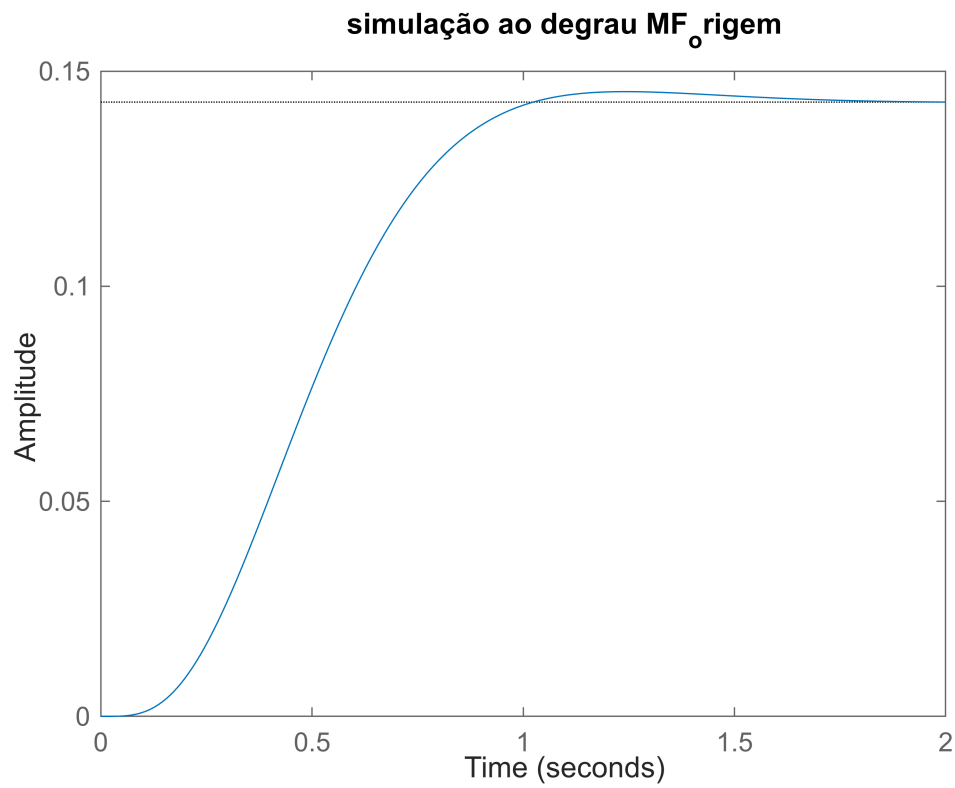
```
%mostrando o efeito de escolha a um K próximo a origem
K_origem= 0.00010511;
Ks_origem= 1 +K_origem*s;
MF_origem=feedback(Ks_origem* G4,1);
o=stepinfo(MF_origem);

%mostrando o efeito de escolha a um K sendo ts menor possivel
K_meio = 0.17127;
Ks_meio= 1 +K_meio*s;
MF_meio=feedback(Ks_meio* G4,1);
me=stepinfo(MF_meio);

%mostrando o efeito de escolha a um K nos 10%
K_max = 0.34770;
Ks_max= 1 +K_max*s;
```

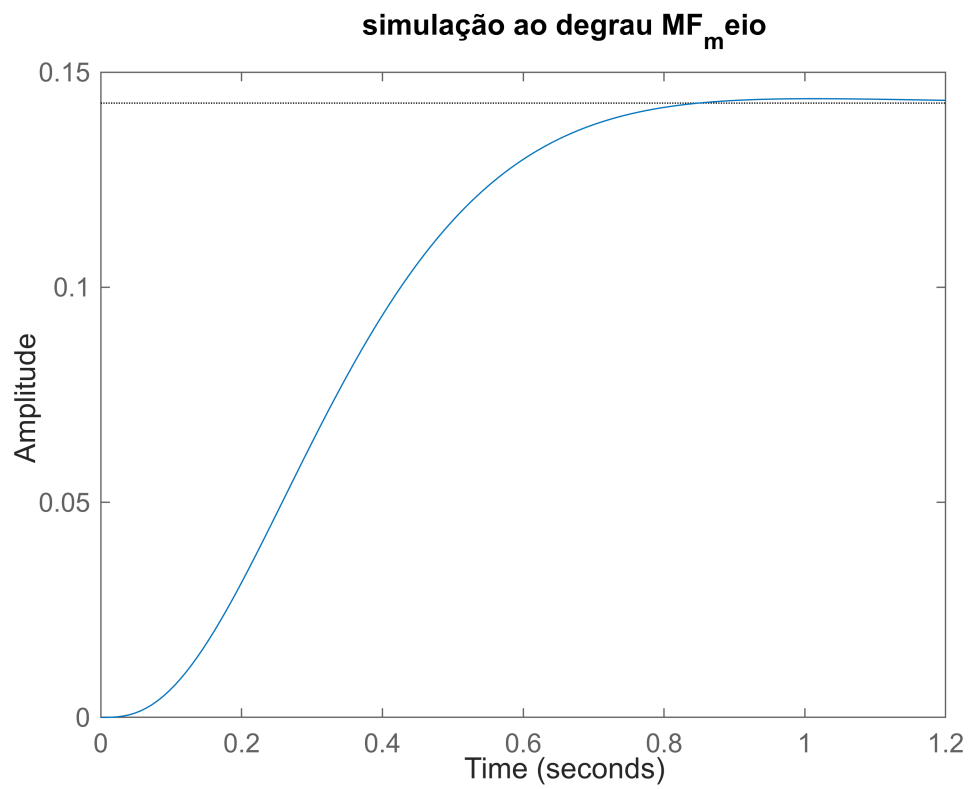
```
MF_max10percent=feedback(Ks_max* G4,1);
ma=stepinfo(MF_max10percent);

figure;step(MF_origem);title('simulação ao degrau MF_origem')
```

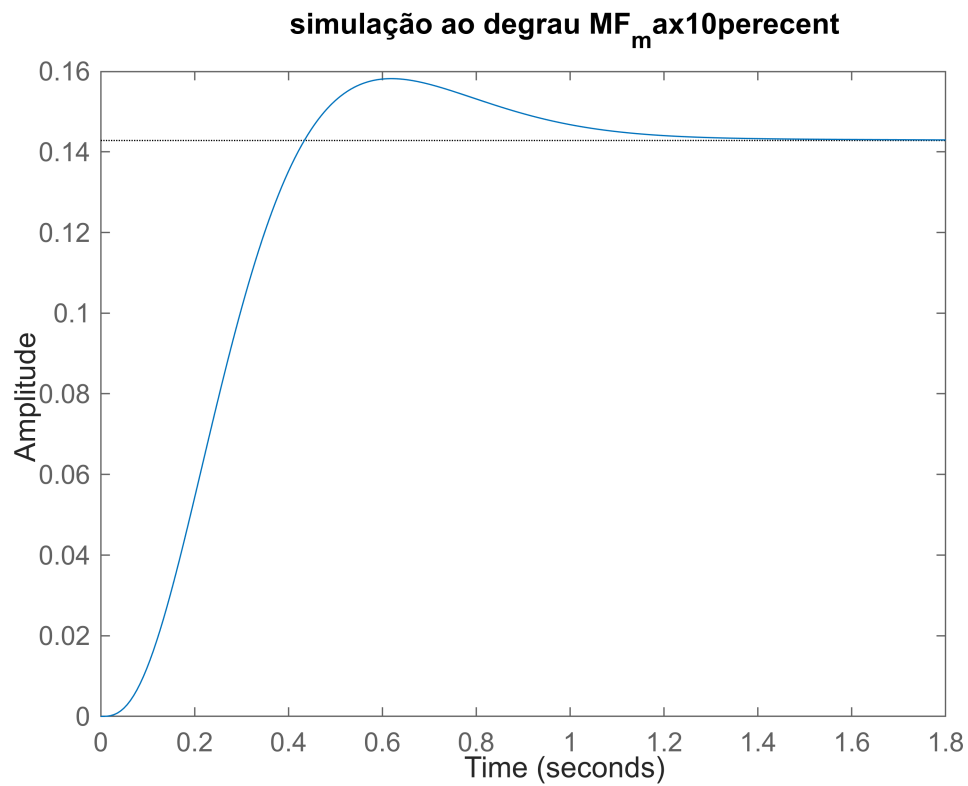


```
figure;step(MF_meio);title('simulação ao degrau MF_meio')
```





```
figure;step(MF_max10perecent);title('simulação ao degrau MF_max10perecent')
```



%Para fins de comparação:

%sobreelevação

UP\_origem = o.Overshoot

UP\_origem = 1.7044

UP\_meio = me.Overshoot

UP\_meio = 0.7156

UP\_max = ma.Overshoot

UP\_max = 10.7425

%tempo de estabelecimento

Ts\_origem= o.SettlingTime

Ts\_origem = 0.9468

Ts\_meio= me.SettlingTime

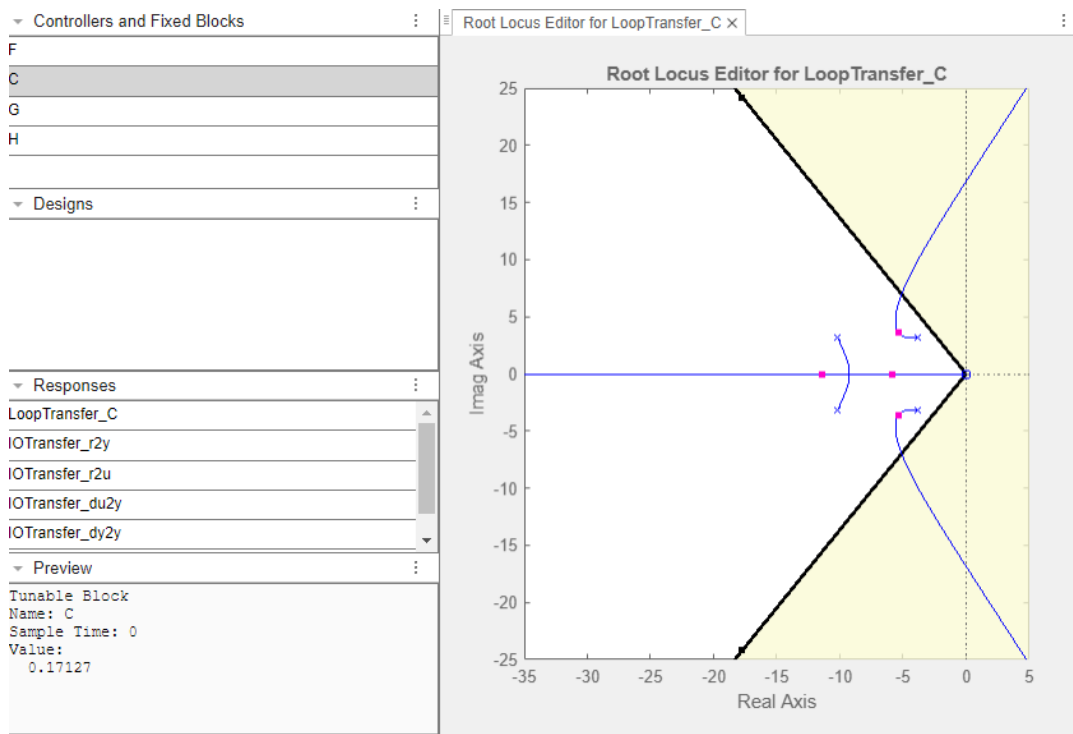
Ts\_meio = 0.7439

Ts\_max= ma.SettlingTime

Ts\_max = 1.0553

Análise:

$K = 0.17127$  tal que  $UP \leq 10\%$ , com  $ts = 0.7439$  s

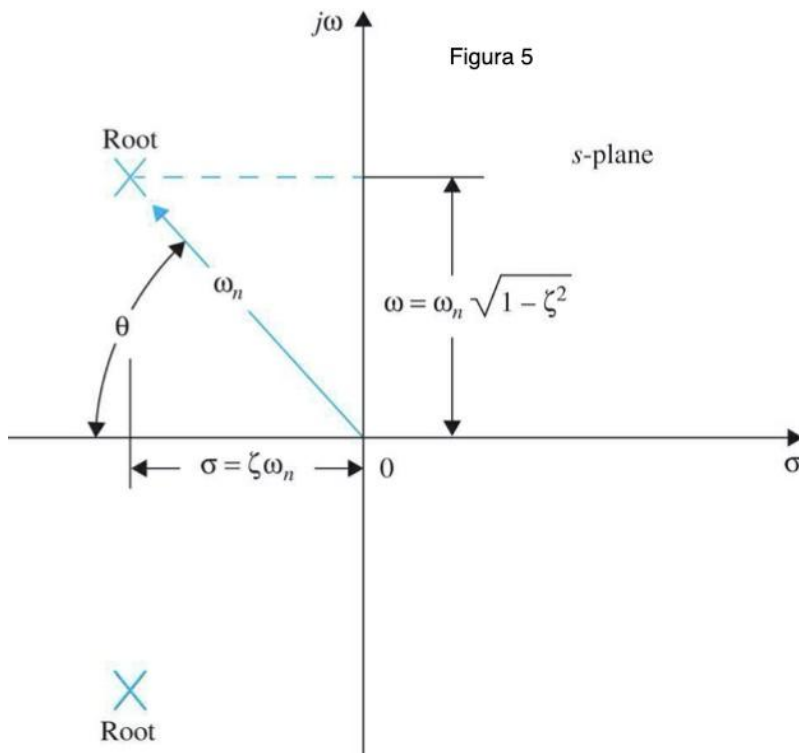


Para fins de comparação eu plotei o step dos extremos e da minha escolha de  $t_s$  menor possível, com os ganhos próximo de 10% de overshoot, na origem e onde eu penso ser o  $t_s$  menor e obtive os seguintes resultados:

Ganhos	Sobreelevação	$T_s$	
Origem	0.00010511	1.7044	0.9468
$T_s$ _Menor	0.17127	0.7156	0.7439
Em 10%	0.34770	10.7425	1.1350

Dito isso, é notável a diferença entre o  $t_s$  escolhido ao se comparar com os extremos. Isso se dá pela relação:

$$\zeta = \cos \theta, \quad t_s = \frac{4}{\zeta \omega_n}, \quad 0 < \zeta < 0.9.$$



O ponto mais distante da origem sobre o LR será o valor máximo de  $\omega_n$ , e o  $\zeta$  aumenta à medida se aproxima do polo de origem. Então uma boa escolha seria a curva que sai dos polos próximos a origem com  $K = 0.17127$ , sobrelevação igual a  $0.7156$  e  $t_s$  igual a  $0.7439$  s